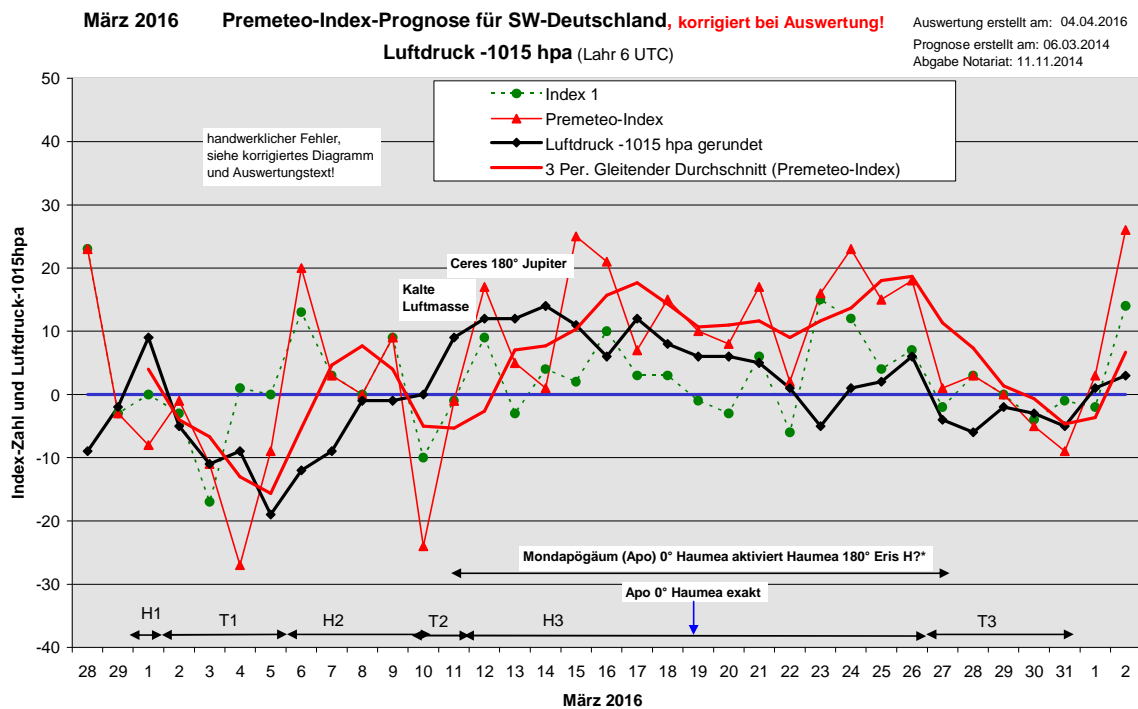
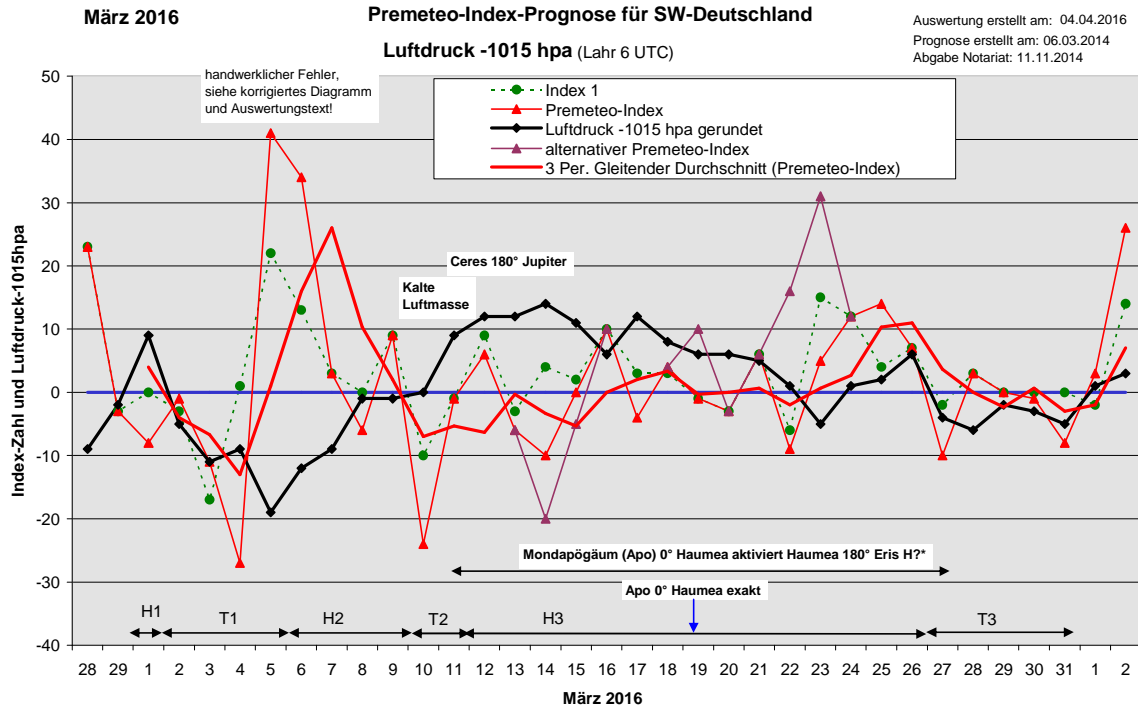


Wetterlagenverlauf März 2016 im Vergleich zur Premeteo-Indexprognose für Südwest-Deutschland

(Im Diagramm sind über der Datumsachse die real eingetreten Hoch- und Tiefdruckphasen durch Doppelpfeile eingetragen. Ausschlaggebend für die Evaluation ist der tägliche Premeteo-Index, in der dünneren, roten Linie mit Dreieckspunkten dargestellt. Ein negativer Premeteo-Index zeigt die Wahrscheinlichkeit für eine zyklonale Tiefdruckströmung, ein positiver Premeteo-Index die Wahrscheinlichkeit für eine antizyklonale Hochdruckströmung an.

Die Wetterlagenbeschreibungen wurden anhand der Berliner Wetterkarten erstellt. Ausschlaggebend ist die Europa-Bodenkarte um 0 UTC, die feiner skalierte 12 UTC-Karte von Mitteleuropa wird nur bei einem Wetterlagenwechsel für die Einordnung des Tages hinzugezogen. Am Ende des Dokuments befinden sich die Tabellen und Konstellationen, die dem Diagramm zugrunde liegen.)

Wegen einiger handwerklicher Fehler in der Original-Prognose wurde ein zusätzliches Auswertungsdiagramm mit einem nun nachträglich korrigierten Prognoseindex erstellt.



Hochdruckphase 1: Der März begann mit einem kurzen Vorstoß des Azorenhochs. Das war ein interessanter Fall, da im Index 2 die Symmetrie Sonne 2° Neptun Ceres H A mit +7 Punkten hätte angerechnet werden können. Dies geschah nicht wegen der Aktivierung der fast-exakten T-Aspekte Sonne 72° Quaoar und Ceres 30° Pallas im Index 3. Die Symmetrie dominierte offensichtlich über die höherrangigen Aspekte des Index 3. Der Premeteo-Index hatte einen Wert von -8

Tiefdruckphase 1: Erst am 2. kann sich Tief Aloisia über dem Nordmeer über ganz Deutschland durchsetzen, und es blieb auch am 3. mit Schnee- und Graupelschauern wetterbestimmend. Dabei hatte sich sein Kern weiter nach Süden in die Nordsee verlagert. In der Nacht zum 4. kam die Region auf 500 hpa unter einen flachen Hochdruckkeil zu liegen und auch in der Bodenatmosphäre hatte sich eine schmale Hochdruckzone ausgebildet zwischen Tief Bianca über Großbritannien und dem Tief über dem Balkan. Im Laufe des Vormittags kam es jedoch zu kräftigem Druckfall und Tief Bianca dehnte seinen Einfluss bis über Südwestdeutschland aus. Der Premeteo-Index hatte einen Wert von -27. Zum 5. stieg der Premeteo-Index durch mehrere H- und Hf-Aspekte von Sonne und Merkur im Index1 auf +41 an. Der Index 1 wies allein schon +22 Punkte auf. Doch Tief Bianca zog nicht schnell durch, wie es für Tiefs meist üblich ist, sondern stabilisierte sich mit einem Kern am Boden über den Benelux-Ländern und in der Höhe über dem Ärmelkanal. Dabei okkludierte es bei gleichbleibend tiefen Kerndruck von 995 hpa vollständig. Die großräumig aufsteigenden Luftmassen gingen konstellatorisch einher mit der Konjunktion Sonne 0° Ceres am 3. um 21:37 UTC, und mit Venus 120° Mondapogäum und Sonne 144° Mondapogäum am 5. um 14:14 und 16:52 UTC. Durch die Sonne-Ceres-Konjunktion wurde Ceres 30° Pallas T* als ranghöchster Aspekt des Tages im Index 3 aktiviert und Merkur bildete eine exakte 15°-Symmetrie zu diesem Aspekt im Index 2. Außerdem gab es im Index 3 noch zwei weitere Aspekte mit Ceres innerhalb des Asteroidengürtels, die für sich gesehen auch H-Aspekte waren und als solche auch berechnet wurden.

(Der Prognosefehler lag darin, dass, geblendet durch die Hf-Aspekte im Index 1, übersehen wurde, dass die Teilungs-Symmetrie Merkur 15° Pallas Ceres den Aspekt Ceres 30° Pallas T* als ranghöchsten Aspekt des Tages im Index 2 ausgab. Das bedeutete, dass alle Merkur- und Sonne-H-Aspekte nicht berechnet werden durften. Führt man dies durch, dann ergibt sich ein Premeteo- Index von -9 für den 5. und +20 für den 6. März. Der Tag hätte durch die bestehenden Prognoseregeln also tatsächlich als zyklonaler Tag prognostiziert werden können. Ein handwerklicher Fehler! Das korrigierte Diagramm zeigt den richtigen Verlauf des Premeteo-Index entsprechend den Prognoseregeln, in den korrigierten Tabellen durch rote Farbe gekennzeichnet.)

In der Nacht zum 6. kam es zu kräftigem Schneefall bis in die Niederungen.

Der Premeteo-Index summierte unkorrigiert auf +2, korrigiert auf -48.

Hochdruckphase 2: Tief Bianca zeigte am 6. schon um 0 UTC eine antizyklonale Krümmung ihrer Isobaren im Bereich Südwestdeutschlands, und auch die Mittagskarte um 12 UTC bestätigte die schwache Antizyklonalisierung von Südwesten her. Dieser flache Keil war auch am 7. März um 0 UTC zwischen einem Tief über der Biskaya und Tief Bianca über Südsandinavien vorhanden. Es war auch in der Mittagskarte noch nicht vollständig aufgelöst. Am 8. März befanden sich Südwest- und Süddeutschland um 0 UTC im westlichen Grenzbereich von Tief Bianca II, dessen Kern über den Karpaten lag. Es kam zu sehr ausgiebigen Schneefällen in der Nacht, doch stellte sich schon bis zum Mittag wieder eine antizyklonale Strömung ein. Der Premeteo-Index hatte einen Wert von -6 durch eine Konjunktionssymmetrie mit Chiron im Index 2. Der März 2016 ist der letzte Monat, bei dem Chiron noch als Symmetriepianet verwendet wurde. Die Symmetrien mit Chiron hatten schon mehrfach zu Fehlprognosen geführt und wurden daher aufgegeben. Als bahnkreuzender Sonnentrabant ist er ein Sonderling gegenüber den anderen Planeten des Prognosesystems. Er scheint keine impulsierenden

Symmetrien bilden zu können. Der Premeteo-Index für den 8. März hatte daher nach den heute aktuellen Prognoseregeln den Wert 0. Dies wurde auch im korrigierten Diagramm berücksichtigt. Die Tagesmitteltemperatur erreichte am 8. ihr Minimum in der ersten Dekade des Monats. In der Nacht zum 9. März fand über Südostasien eine totale Sonnenfinsternis statt. Über Süddeutschland hatte sich eine kleine Hochdruckzelle ausgebildet, die den Namen Joachim erhielt und sich recht rasch nach Norden zum Baltikum verlagerte. Der Premeteo-Index summierte auf +40 / korrigiert +32.

Tiefdruckphase 2: Der 10. März hatte durch den starken T-Aspekt Venus 150° Varuna Tf, der sowohl im Index 1 als auch im Index 2 auftrat, einen Wert von -24. Starker Druckfall war bereits 9. aufgetreten, erreichte aber schon gegen 18 UTC sein Minimum. Die Atmosphäre strahlte in der Nacht stark ab und stabilisierte sich. Tief Doris über Westfrankreich und über dem westlichen und mittleren Mittelmeerraum wurde über Südwestdeutschland kaum wetterwirksam. Es reichte bis zum Mittag des 10. mit seinem Isobarenbereich bis flach in unsere Region. In der Nacht zum 11. gehörte trotz deutlich gestiegenen Luftdrucks die Region noch immer eher zu Tief Doris, dessen Kern nun zwischen Tunesien und Sizilien lag, als zu Hoch Joachim über Südschweden. Ähnliche Strukturen zeigten sich auch noch in der Mittagkarte. Der Premeteo-Index summierte auf -25.

Hochdruckphase 3: Am 12. lag das okkludierte Tief Doris mit seinem Kern noch immer zwischen Sizilien und Tunesien, hatte sich jedoch schon weiter aufgefüllt. Hoch Joachim war mit seinem Kern von Südschweden nach Dänemark-Norddeutschland etwas näher herangezogen und Südwestdeutschland lag nun in seinem Isobarenbereich. Auch am 13. und 14. bestimmte Hoch Joachim weiterhin mit seinen kalten Luftmassen das Wetter. Sein Kern befand sich am 14. über der Nordsee. Der Premeteo-Index hatte an diesen beiden Tagen die negativen Werte -6 und -10. Der negative Index kam am 13. hauptsächlich durch die Venus-T-Aspekte Venus 150° GSZ und Venus 150° Makemake zustande, die in allen drei Indices auftraten. Aber Ceres 180° Jupiter H* war wohl die entscheidende Winkelbeziehung für das kalte Hochdruckwetter. Am 13. befand sich ein kleines, kompaktes Höhentief, ein sogenannter Kaltlufttropfen direkt über Südwestdeutschland, setzte sich mit seiner zyklonalen Strömung nicht bis in die Bodenatmosphäre durch und wanderte zum 14. bis über die Pyrenäen. Am 14. gab es im Index 2 wieder einen handwerklichen Fehler: Im Index 2 hätte die um 22 UTC auftretende Symmetrie Venus 15° Pallas Ceres T wegen Ceres 180° Jupiter H* nicht angerechnet werden dürfen! Führt man dies durch, hat der 15. März einen Premeteo-Index von +14. (Dies wurde im korrigierten Diagramm berichtigt und in den korrigierten Tabellen rot gekennzeichnet). Für den nun seit dem 11. deutlich höheren Luftdruck könnte der zum Zeitpunkt der Prognosenerstellung unbekannte Aspekt Haumea 180° Eris mitverantwortlich sein. Das Mondapogäum trat im Laufe des 11. in Konjunktion mit Haumea in Konjunktion, wodurch Haumea 180° Eris im Index 3 aktiviert wurde. Inzwischen wurde dieser Aspekt seit Dezember 2014 schon dreimal exakt. Der nächste Termin ist der 2. April 2016. Es zeichnete sich ab, dass er einen H-Impuls trägt. Sicher ist das noch nicht, aber die Phase des Hochs Joachim sprach nun auch dafür. Die Konjunktion des Mondapogäums mit Haumea hielt bis zum 27. März an und im korrigierten Diagramm wurde Haumea 180° Eris probenhalber mit +11 Punkten eingerechnet (Dies wurde in den korrigierten Tabellen in blauer Farbe gekennzeichnet).

Vom 15. bis zum 17. bestimmte Hoch Joachim weiterhin die Strömung. Es lag dabei mit seinem Kern über der nördlichen Nordsee. Am 16. dehnte sich auf 500 hpa ein Tief mit Kern den über Ostalpen über unsere Region aus und brachte am Vormittag verstärkt Bewölkung und kalten Ostwind. Am 17. war es mit seinem Kern über

Südwestfrankreich angekommen. An diesem Tag hatte der Premeteo-Index einen Wert von -4, am 18. lag er bei +4, am 19. bei -1, er schwang um die Nulllinie und Hoch Joachim verlagerte seinen Kern auf den Nordatlantik westlich Schottlands. Unsere Region verblieb in seinem kalten Einflussbereich, auch vom 20. bis 22. März. Der Luftdruck fiel am 22. deutlich ab, doch blieb die Strömung weiterhin antizyklonal, während sie auf 500 hpa flach zyklonal war. Am 23. fiel der Druck sogar auf rund 1010 hpa und doch blieb in unserer Region die Strömung durch Hoch Joachim antizyklonal, das nun mit seinem Kern über Großbritannien lag. Der Kern des Hochs verlagerte sich am 24. etwas nach Süden vor die Biskaya und zog zum 25. dann rasch nach Osten ab, wo es um 0 UTC über den Ostalpen lag. Unsere Region befand sich zu diesem Zeitpunkt noch in seinem Einflussbereich, doch ging im Laufe des Tages die Strömung in den von Südwesten hereinragenden Keil des Azorenhochs über. Damit ging die 14-tägige Regentschaft von Hoch Joachim über unserer Region zu Ende. Dies war verbunden mit dem Trogvorstoß bis in die Nordhälfte Deutschlands durch Tief Hedi bei Island. Es regnete auch im Südwesten, denn damit verbunden war ein Wechsel zu wärmeren Luftmassen. Dennoch war die Strömung weiterhin gemäß dem Premeteo-Index als überwiegend antizyklonal einzustufen, denn am 26. lag noch Hoch Kurt mit seinem Kern über Frankreich. Der Premeteo-Index summierte über die 15-tägige Hochdruckphase auf +31 / korrigiert +200.

Tiefdruckphase 3: Tief Irmgard mit Kern über Schottland stieß am 27. mit seinem Trog bis über Mitteleuropa vor. Es zog zum 28. weiter ins Nordmeer, aber ein weiterer Tiefdruckkern verblieb über Großbritannien und hielt Südwestdeutschland weiter im zyklonalen Strömungsbereich. Tief Jeanne über Südnorwegen folgte am 29. nach und am 30. lag wiederum das Zentrum der zyklonalen Strömung über Großbritannien und verlagerte sich zum 31. März weiter nach Süden über Frankreich und den südwestlichen Mittelmeerraum. (Der März 2016 war so etwas wie eine „Montags-Prognose“! Am 30. und 31. war bei der Erstellung der Prognose der Index 1 vergessen worden einzutragen. Er hatte am 30. den Wert -4 und am 31. den Wert -1. Der Premeteo-Index nahm die Werte -5 und -9 an. Dies wurde in den korrigierten Tabellen in Grün eingetragen.) Der Premeteo-Index summierte über das 5-tägige Tief auf -16 / korrigiert -10.

Zusammenfassung:

Die Prognose des März 2016, die schon im März 2014 erstellt worden war, enthielt leider handwerkliche Fehler am 5., 6., 15., 30. und 31. März, die erst jetzt beim Ablauf des realen Wetters bemerkt wurden. Daher wurde nun zusätzlich ein nachträglich korrigiertes Auswertungsdiagramm erzeugt, das darstellt, wie der Premeteo-Index-Verlauf korrekt entsprechend den Prognoseregeln ausgesehen hätte. Dabei wurde auch die im Index 3 lang anhaltende Aktivierung des 2014 noch unbestimmbaren Aspekts Haumea 180° Eris H?* mal probenhalber mit +11 Punkten eingesetzt.

Die ursprüngliche Prognose geht mit 10 Fehlprognosetagen bezüglich der Strömung in die Statistik ein. Das ist ein unterdurchschnittliches Ergebnis. Zufriedenstellend war dagegen, dass der mittlere Premeteo-Index pro Tag bei den real abgelaufenen Hochdruckwetterlagen tatsächlich einen positiven und bei den real abgelaufenen Tiefdruckwetterlagen tatsächlich einen negativen Wert aufwies, wie es im Idealfall für die Bestätigung der Hypothese wünschenswert ist, die die Meteorologie und die Astronomie auf der Ebene der Raum-Zeit-Ereignisse zu einem interdisziplinären Forschungsfeld verbindet.

SW-D befand sich an 20 Tagen im Einflussbereich antizyklonaler Strömung. Die Summe des prognostizierten Premeteo-Index für diese Tage ergab 63 (korrigiert 224). Dies entsprach einer Indexzahl von +3,13 (korr. +11,2) pro Tag.

An 11 Tagen befand sich SW-D im Einflussbereich zyklonaler Strömung. Die Summe des prognostizierten Premeteo-Index für diese Tage ergab -39 (korrigiert -83). Dies entsprach einer Indexzahl von -3,55 (korr. -7,55) pro Tag.

Die Prognose durch die Premeteo-Wettersymbole war an 5 (korr. 7) Tagen falsch (am 5., 6., 10., 24. und 25.), an 11 (korr. 14) Tagen richtig und an 15 (korr. 10) Tagen tendenziell richtig.

Zu den Tabellen



März 2016  **Prognose für SW-Deutschland**

01.03.2016										
Langsamläufer-Impulse	T*		2H*		H*		H*		H*	
Schnellläufer-Impulse	2T	H	3Tf, 2Hf	H	3H, 2Hf	2H, Hf	4T	H, T	H, T	Tf, T
Temperaturimpulse	W?*		2K, W		2W	K, W?		W	W, K*	K
Premeteo-Index - zyklonal, + antizyklonal (Index 1+2+3)	-8	-1	-11	-27	41	34	3	-6	9	-24
Pre.IX (ALTERNATIV)										
Index 1 (12 - 12 UTC) exakte Aspekte des Tages	0	-3	-17	1	22	13	3	0	9	-10
Index 1(ALTERNATIV)										
Symmetrien (0 - 0 UTC)	Auslösung Index2? Son 2 Nep Cer (07) H W A W ---	Son 73 Qua Sed (02) T A 7-7 Cer 174 Jup Orc (05) H* A* +7 Plu 31 Ven Sat (16) A W? H*(12/4) T+7	Son 6op Jup Orc (04) H W H +7? Hau 5op Ura Ves (19) H?*(5/1,5) A* +7? Jup 150 Ven Ura (20) Tst K A* A -14	Mer 61 Ves GaZ (00) A Tf H* -14 Var 150 GaZ Mer (01)? Hf K Tf --- Mer 60 Ves Qua (20) A H A* +7 Orc 8op Son Mer (22) H A +??	Mer 15 Pal Cer (04) T* --- Son 6 Nep Chi (08) H W A K? +7 Sat 31 Plu Jun (14) H*(12/4) A* H+7 Mer 15 Son Pal (14) H+14 Mer 9 Ven Nep (23) A W H W +??	Jup 2op Son Chi (12) H W H?*(14/8) ---	Nep 7 Son Mer (01) H W H W --- Mer 46 Ura Plu (03) T A A?*(12,5/2) --- Orc 3op Nep Mer (20) A?*(3/1,5) A? Cer 6 Nep Chi (21) T* W* A* -??	Son 3 Chi Cer (08) A K? A W Auslösung Jup Sep Chi Cer (18) H?*(14/8) H* ---		Var 150 Ven GaZ (12) Tst T?*(1/4) T -14
Index 2 (12 - 12 UTC)		0	7	-28	14	21	0	0		-14
Index 2 ALTERNATIV										
ausgelöste LL-Aspekte	wegen Konj.-Symmetrie Son 72 Qua T-3 Cer 30 Pal-5	Ven 135 GSZ H2	Mer 144 GSZ T-1 Cer 30 Pal T-5 Ves 45 Cer H5	Cer 30 Pal T-5 Ves 45 Cer H5	Cer 30 Pal T-5 Ves 45 Cer H5 Jun 120 Cer H5			Auslösung Index2: Son 60 Plu T-3 Son 144 Hau -3		
Index 3 (Summe)	-8	2	-1	0	5	0	0	-6	0	0
Index 3 ALTERNATIV										
Symbol-Prognose	3	3	5	5	2	2	3	3	3	5
Symbol-Prognose altern.	3	3	5	5	2	2	3	3	3	5
Wochentag	Di	Mi	Do	Fr	Sa	So	Mo	Di	Mi	Do
Datum	1	2	3	4	5	6	7	8	9	10
reale Wetterlage	H1: T*, 2T / -8	T1: 3Tf - 3H*, 4Hf, 5 H / +2				H2: 2H*, Hf, 4H - 6T / +40				T2: Tf, T - H*, H
Luftdruck (hpa) 06 UTC	1023,7	1009,6	1004,1	1005,6	995,9	1003,2	1005,6	1013,9	1014,2	1014,6
mittl. Temp. (°C)	4,1	5,3	3,5	4,5	5,8	3,4	3,3	1,7	2,8	3,9
Sonnenscheindauer (h)	6,2	0,1	0,4	0,3	0	1,3	4,5	0	8,4	7,6
Niederschlag (Liter)	1,5 / 2	9,3 / 15	4 / 3	5,2 / 2	10,3 / 8,5	1,7 / 8,5	4 / 2	0,7 / 15	0	0
Bodenwetterlage 00 UTC (Kernlage des Druckgebiets, das SW-D beeinflusst)	Azorenhoch, T ü M-Mm	T ü Nm	T ü Nsee	schmale H-Zone zw T ü GB und T ü Balkan	Tief ü Benelux	T ü Niederlande	fl H-Keil zw Tief über Bisk u T ü S-Skand	T ü Karpaten	H ü S-D, T ü SW-GB, fl T ü Tyrin.M	H ü Balt, T ü F, Tü W.-M-MmR
Bodenströmung 12 UTC zyklonal (z), antizyklonal (a)	a	z	z	z	a-z	fl a	a-z	a	z	fl z
Strömung auf 500 hpa 00 UTC	N fl a	NW a	z	NW fl a	SW z	SW z	W z	z	N a-z	a-z
zutreffende Wettersymbole	3 r	5 hr	5 r	5 r	5 f	5 f	3-5 hr	5 hr	2 hr	2-3 f

Übertrag	01:09	01:32	01:14	05:38	00:15	02:23	00:28	01:01	00:46	03:57
Index 1: +5	VEN 60 SAT	MER 90 SED	VEN 60 URA	MER 72 SAT	SON 30 PAL	VEN 150 KN1	VEN 120 EL6	VEN 90 SED	SAT 60 PAL	SAT 90 CER
Index 2: 0	WAS 15°54'43" SCH 15°54'41" T -2	WAS 24°32'00" STI 24°32'02" A	WAS 18°23'27" WID 18°23'26" A	WAS 28°01'54" SCH 16°01'54" H +1	FIS 14°51'15" WAS 14°51'14" H +3	WAS 22°09'44" JUN 22°09'43" H K +4	WAS 23°18'02" WAA 23°18'01" A	WAS 24°33'59" STI 24°34'00" A	WAS 16°10'53" WAA 16°10'53" A*	SCH 16°12'41" FIS 16°12'41" A*
	08:06	03:09	03:02	06:13	00:28	06:05	04:42	10:59	07:12	05:41
	MER 120 EL6 WAS 23°22'53" WAA 23°22'53" A	VEN 135 FY9 WAS 17°15'08" WAA 02°15'09" A	MER 144 FY9 WAS 26°14'07" WAA 02°14'05" Hf ---	MAR 30 QUA SKO 29°18'35" SCH 29°18'35" A	MER 60 QUA WAS 29°19'01" SCH 29°19'02" H +1	SON 90 SAT FIS 16°05'57" SCH 16°05'57" A W?	SON 60 PLU FIS 17°02'34" STE 17°02'34" T -3	SON 180 JUP FIS 18°18'20" JUN 18°18'18" H W ---	VEN 144 FY9 WAS 26°07'21" WAA 02°07'20" A	VEN 150 VAR WAS 27°16'54" KRE 27°16'54" Tf K -8
	10:42	03:53	03:51	13:38	05:44	09:48	08:08	13:45	10:28	07:06
	SON 72 QUA FIS 11°16'46" SCH 29°16'47" T -3	VEN 135 GSZ WAS 17°17'24" WAA 02°17'25" H +2	MER 144 GSZ WAS 26°17'24" WAA 02°17'25" Tf -7	MER 60 VES WAS 28°34'35" WID 28°34'34" A	MER 90 MAR WAS 29°40'42" SKO 29°40'42" Hf +7	VEN 120 QUA WID 29°19'49" SCH 29°19'50" A*	MAR 72 JUP SCH 00°27'04" JUN 18°27'04" T -4	PAL 144 KN1 WAS 16°01'52" JUN 22°01'52" A	VEN 144 GSZ WAS 26°17'27" WAA 02°17'27" A W	MER 135 EL6 SCH 08°15'00" WAA 23°14'59" A
	10:47	06:06	03:56	21:01	07:22	10:25	08:34	19:59	12:14	16:59
	VEN 144 KN1 WAS 16°24'31" JUN 22°24'30" A	MAR 144 ERI SKO 28°32'24" WID 22°32'24" A	SON 45 VES FIS 13°00'11" WAS 20°38'53" WID 26°00'11" A	VEN 30 CHI WAS 20°38'53" FIS 20°38'52" Hf +9	SON 120 JUN FIS 15°09'04" SKO 15°09'03" Hf +9	VEN 60 ERI WAS 22°34'35" WID 22°34'34" H +4	CER 120 JUN FIS 15°06'17" WID 15°06'17" H* +10	SON 30 URA FIS 18°40'50" WID 18°40'49" T -3	SON 90 MAR WAS 16°05'57" SCH 16°05'57" A	MER 180 ORC FIS 06°53'11" JUN 06°53'13" T -1
	15:37	12:55	08:25	14:14	11:50	10:02	20:39	13:30		
	VES 90 VAR WID 27°23'16" KRE 27°23'16" T -5	SON 135 VAR FIS 12°22'32" KRE 27°22'33" H* +5	PAL 45 QUA WAS 14°18'01" SCH 29°18'01" H* +5	VEN 120 APO WAS 21°32'08" WAA 21°32'07" H W +2	JUP 150 URA JUN 18°33'42" WID 18°33'42" A*	MER 144 VAR FIS 03°18'52" KRE 27°18'51" A	ORC 45 APO JUN 06°53'58" WAA 21°53'58" H* +11	MER 135 APO FIS 06°58'39" WAA 21°58'39" H +1		
	20:51	16:47	12:05	16:52	15:43	10:43		13:40		
	VEN 30 PLU WAS 16°55'39" STE 16°55'40" A W?	SON 72 SED FIS 12°32'14" STI 24°32'13" A	VEN 150 JUP WAS 18°57'00" JUN 18°57'00" Tf K -8	SON 144 APO FIS 15°32'52" WAA 21°32'51" A W	MER 45 PLU FIS 02°01'52" STE 17°01'54" A	SON 144 EL6 FIS 17°17'37" WAA 23°17'38" T -6		APO 30 KN1 WAA 21°58'42" JUN 21°58'42" A* K*		
			13:55	20:58	17:42	14:20		13:48		
			MER 60 GaZ WAS 26°58'04" SCH 26°58'04" Tf -7	PAL 90 JUN WAS 15°08'26" SKO 15°08'26" H* +5	MER 150 FY9 FIS 02°10'10" WAA 02°10'10" Hf +7	MER 45 URA FIS 03°37'02" WID 18°37'03" T -1		CER 144 APO FIS 08°58'09" WAA 21°58'44" A*		
			19:43		19:26			22:14		
			MER 150 VAR WAS 27°21'34" KRE 27°21'32" Hf K ---	VES 144 KN1 WID 28°16'53" JUN 22°16'53" H* ---	MER 150 GSZ FIS 02°17'26" WAA 02°17'26" A		MER 45 ERI FIS 07°36'28" WID 22°36'28" A			
			20:19		23:37					
			SON 0 CER FIS 13°44'31" FIS 13°44'31" A W					VEN 60 GaZ WAS 26°58'08" SCH 26°58'07" T -2		

März 2016  **Prognose für SW-Deutschland**

Langsamläufer-Impulse	H*		H*	T*	H*			H?*	H*	
Schnellläufer-Impulse	H	T, Hf	T	3T, H	2H, 2T	H	H	2H, 2T	2T, H	2T
Temperaturimpulse	K?, W	W		K	K?	W?				W
Premeteo-Index -zyklonal, + antizyklonal (Index 1+2+3)	-1	6	-6	-10	0	10	-4	4	-1	-3
Pre.IX (ALTERNATIV)				-20	-5				10	
Index 1 (12 - 12 UTC) exakte Aspekte des Tages	-1	9	-3	4	2	10	3	3	-1	-3
Index 1 (ALTERNATIV)				-6	-3				10	
Symmetrien (0 - 0 UTC)		Cer 5 Son Mer (09) A W H +7? Sat 74 Ven Mak (20) T --- Jup 5op Son Mer (20) H W A +7?	Cer 4 Chi Mer (09) A* H --- Mer 4 Nep Cer (09) H W H +7? Jup 4op Chi Mer (14) H? (14/8) A --- T A* A-7	Nep 8 Ven Cer (06) A W T W? -7? Mer 6 Nep Chi (11) H W A +7? Chi 3 Son Cer (16) A K? A* Auslösung! Plu 31 Sat Pal (20) H (12/4) H* A* +14 Ven 46 Ura Plu (22) H K? A A? (25/2) --- Ven 15 Pal Cer (22) T* -14 Son 7op Jup Mak (22) H W Hf +7?	Jup 7op Son Nep (00) H W H? (12/8) +7? Son 7op Jup GSZ (01) H W T ? Nep 7 Ven Mer (02) A W H W +7? Orc 3op Ven Nep (08) A ? ? Chi 4 Son Mer (09) A K? A --- Mer 8 Son Nep (14) H H W +7?	Mer 1 Chi Cer (21) A H Auslösung!	Cer 30 Ura Pal (03) A* T* A* -7	Jup 7op Nep Mer (19) H (12/6) A +7?	Mer 5 Son Cer (02) H H --- Mer 8op Jup Mak (03) A H +7? Jup 8op Ven Mer (11) H A +7? Mer 4 Son Chi (17) H A ---	Cer 10 Son Nep (09) A W T* W* -7?
Index 2 (12 - 12 UTC)	0	0	0	-7	0	0	-7	0	0	0
Index 2 ALTERNATIV										
ausgelöste LL-Aspekte	Nep 72 GaZ A? (1/2) 0	Son 180 Kn1 T-3 Hau 180 Eri ?*	Son 150 Hau T-3 Hau 180 Eri ?*	Ven 150 GSZ T-2 Ven 150 Mak T-2 Son 150 Hau T-3 Hau 180 Eri ?*	Ven 150 GSZ T-2 Hau 180 Eri ?*	Cer 30 Pal T-5 Ven 45 Cer H5 Hau 180 Eri ?*	Hau 180 Eri ?*	Mer 30 Eri H1 Hau 180 Eri ?*	Hau 180 Eri ?*	Hau 180 Eri ?*
Index 3 (Summe)	0	-3	-3	-7	-2	0	0	1	0	0
Index 3 ALTERNATIV										
Symbol-Prognose	3	3	3	5	3	2	3	3	3	3
Wochentag	Fr	Sa	So	Mo	Di	Mi	Do	Fr	Sa	So
Datum	11	12	13	14	15	16	17	18	19	20
reale Wetterlage	/-25	H3: 5H*, 3Hf, 14H - 2T*, 18T - H? / +31								
Luftdruck (hpa) 06 UTC	1024,2	1026,6	1027,3	1028,5	1026,2	1020,9	1026,6	1022,9	1021	1020,5
mittl. Temp.(°C)	3,2	5,3	6	5,8	2,4	5,5	4,4	5,8	3,3	5
Sonnenscheindauer (h)	7,5	3,7	2,1	6,3	2,8	6,1	11	11	3,9	5,1
Niederschlag (Liter)	0	0	0	0	1,6 / 2	0	0	0	0	0
Bodenwetterlage 00 UTC (Kernlage des Druckgebiets, das SW-D beeinflusst)	fl, okkl T zw Sizilien und Tunes, H ü S-Schweden	H ü Däne/N-D, okkl T zw Sizilien u Tunesien	H ü S-Schweden, T ü S-Italien	H ü Nsee	H ü N-Nsee, T ü O-Eu	H ü N-Nsee, ü S- Osee, fl T bei Korsika	H ü N-Nsee	H bei Schottl	H w Schottl	H westl Irland
Bodenströmung 12 UTC zyklonal (z), antizyklonal (a)	a-z	a-z	fl z	fl a	a-z	a-z	a-z	fl a	a	fl a
Strömung auf 500 hpa 00 UTC	fl z	NO fl a	z	ONO fl a	O a	NO z	SO z	W a-z	W a	a-z
zutreffende Wettersymbole	3 r	5 hr	5 hr	2-5 hr	5 hr	3 hr	2 hr	2 hr	2-5 r	2-5 r

VEN 72 SAT WAS 28°13'55" SCH 16°13'55" A	00:07	SON 180 KN1 FIS 21°50'59" SCH 21°50'58" T -3	00:06	SON 150 EL6 FIS 23°12'02" WAA 23°12'01" T -3	08:35	VEN 150 FY9 FIS 02°01'58" WAA 02°01'58" T -2	01:51	VEN 144 VAR FIS 03°13'58" KRE 27°13'57" H +2	01:08	MER 0 CER FIS 18°30'31" FIS 18°30'33" H ---	00:05	SON 90 GaZ FIS 26°58'10" SCH 26°58'10" H +3	03:22	MER 30 ERI FIS 22°41'17" WID 22°41'17" H +1	05:34	MER 60 SED FIS 24°38'44" STI 24°38'45" A	06:12	MER 90 GaZ FIS 26°58'10" SCH 26°58'12" T -1	11:07
SAT 135 VES SCH 16°13'56" STI 01°13'56" A*	00:21	MER 72 QUA FIS 11°22'34" SCH 29°22'35" A*	01:45	JUP 150 PAL FIS 17°38'36" WAA 17°38'37" A*	12:54	VEN 45 PLU FIS 02°10'31" STE 17°10'30" A*	04:37	MER 144 EL6 FIS 17°10'08" WAA 23°10'06" A W?	06:40	MER 30 URA FIS 19°04'24" WID 19°04'23" A W?	07:23	SON 120 VAR FIS 27°12'41" KRE 27°12'42" A	09:12	MER 150 APO FIS 22°57'35" WAA 22°57'34" A	09:00	SON 72 PLU FIS 27°11'11" STE 17°15'35" T -2	10:38	MER 120 VAR FIS 27°11'11" KRE 27°11'10" T -2	13:48
SON 0 CHI FIS 21°01'58" FIS 21°01'58" A K?	04:28	MAR 45 PLU SCH 02°08'22" STE 17°08'22" A*	04:32	VES 150 GSZ STI 02°17'27" WAA 02°17'27" A*	13:25	JUP 135 VES STI 02°33'29" STE 17°10'30" A*	04:47	MER 60 PLU FIS 17°11'35" STE 17°11'38" T -1	06:59	MAR 150 VES SCH 03°30'33" STE 17°11'38" A	11:20	MER 0 CHI FIS 21°25'20" FIS 21°25'19" A	13:30	URA 60 PAL WID 19°11'08" WAS 19°11'08" A*	09:19	SON 135 JUN FIS 29°19'42" SKO 14°19'41" T ---	12:18	VEN 0 NEP FIS 10°16'23" SCH 10°16'24" A W	17:46
MER 0 NEP FIS 09°55'24" FIS 09°55'26" H W	06:02	PAL 135 GSZ WAS 17°17'27" WAA 02°17'27" A*	10:37	JUP 180 CER JUN 17°37'04" FIS 17°37'04" H* +10 / 0	17:41	VEN 150 GSZ FIS 02°17'25" WAA 02°17'27" T -4	06:51	MER 180 JUP FIS 17°24'10" JUN 17°24'10" JUN 21°35'51" A	09:43	MAR 72 KN1 SCH 03°35'50" JUN 21°35'51" A*	18:16	URA 30 CER WID 19°08'38" FIS 19°08'38" A*	14:51	MER 150 EL6 FIS 23°06'51" WAA 23°06'51" A	10:57	EL6 0 APO WAA 23°05'40" WAA 23°05'40" H? (9,5/4) 0 / +11 H* +6	14:05	JUP 144 ERI JUN 16°42'52" WID 22°42'52" H* +6	20:47
PAL 135 FY9 WAS 17°04'34" WAA 02°04'34" A*	18:41	SON 150 APO FIS 22°17'59" WAA 22°17'59" A	10:55	MER 120 JUN FIS 14°47'14" SKO 14°47'16" A	23:22	VEN 60 VES FIS 04°45'57" STI 02°44'56" H K? +2	15:45	VEN 45 URA FIS 04°02'25" WID 19°02'26" H K? +2	16:48	JUP 120 PLU JUN 17°13'10" STE 17°13'10" A*	20:11	MER 180 KN1 FIS 21°33'07" JUN 21°33'05" A	15:09	JUN 45 QUA SKO 14°24'51" SCH 29°24'51" A*	14:52	SON 90 QUA FIS 29°25'05" SCH 29°25'06" H +3	14:28		
VEN 60 QUA WAS 29°22'32" SCH 29°22'32" A	22:18	PLU 60 CER STE 17°08'44" FIS 17°08'44" A*	12:53	SON 60 SED FIS 24°36'41" STI 24°36'41" H* +11	18:33	ERI 180 APO WID 22°39'47" H* +11	17:11	VEN 180 ORC FIS 06°43'52" JUN 06°43'51" A	21:01	VEN 45 ERI FIS 07°41'31" WID 22°41'32" H +2	21:01	VEN 180 ORC FIS 06°43'52" JUN 06°43'51" A	15:40	VEN 72 GaZ FIS 08°58'11" SCH 26°58'12" A	16:28				
PLU 30 PAL STE 17°08'07" WAS 17°08'07" H* +5	23:04	MER 135 VAR FIS 12°15'24" KRE 27°15'25" Hf +7	13:37	MER 90 SAT FIS 16°18'42" SCH 16°18'41" H +1	19:27	MER 45 VES FIS 18°15'19" STI 03°15'20" T -1	20:48						17:36	CHI 180 KN1 FIS 21°29'35" JUN 21°29'35" A*					
MAR 60 FY9 SCH 02°04'19" WAA 02°04'19" A	23:42	MAR 60 GSZ SCH 02°17'27" WAA 02°17'27" A	15:29	FIS 03°00'34" SCH 03°00'35" A K	20:48	MER 30 PAL FIS 18°24'56" WAS 18°24'57" A	22:53						19:45	MAR 135 URA SCH 04°12'33" WID 19°12'33" T -4	22:02				
		CER 144 EL6 FIS 17°12'40" WAA 23°12'40" A*	16:53	MER 144 APO FIS 16°34'43" WAA 22°34'42" T ---	22:57								22:02	VEN 135 APO FIS 08°01'12" WAA 23°01'11" T ---					
		MER 72 SED FIS 12°35'49" STI 24°35'50" A	18:11	CER 30 PAL FIS 18°06'03" WAS 18°06'03" T* 0 / -5	23:09								23:41	VEN 135 EL6 FIS 08°06'18" WAA 23°06'17" A					
		SON 30 ERI FIS 22°38'06" WID 22°38'05" A	18:59																
		VEN 150 FY9 STI 02°03'12" WAA 02°03'12" A*	23:44																


März 2016



Prognose für SW-Deutschland


Langsamläufer-Impulse			2H*	T*							T*		
Schnellläufer-Impulse		Hf, 2T, H	T, H	T	3H, Hf	3T, H		H, T	T		2H, Tf, T		
Temperaturimpulse					W	2W, K	K		W				
Premeteo-Index zyklonal, antizyklonal (Index 1+2+3)	6	-9	5	12	14	7	-10	3	0	-1	-8		
Pre.IX (ALTERNATIV)		16	31										
Index 1 (12 - 12 UTC) exakte Aspekte des Tages	6	-6	15	12	4	7	-2	3	0				
Index 1 (ALTERNATIV)		7											
Symmetrien (0 - 0 UTC)	Jup 50p Ven Chi (18) H H* (14/8) +7? Ven Sop Jup Orc (20) H A +7? Cer 9 Ven Mer (23) A W H -	Jup 40p Ven Cer (06) H H* +7? Son 180 Mak GSZ (07) Hf T ? Chi 9 Ven Mer (12) Tst A - Mak 10p Son Mer (16) Hf H 0+7 GSZ 180 Son Mer (23) T A -7	Mer 180 Mak GSZ (01) H A 0+7 Mar 22 Jun Gaz (08) H* -	Orc 150p Pal Cer (22) T* - Jup Sop Nep Cer (23) H* (12/6) H* +7?	Ven 6 Nep Chi (12) A W Tst - Mer 16 Chi En (16) ? - Mer 15 En Cer (19) H* 0 Sat 90 Ven Jup (23) H W A* H -			Mak 100p Chi Mer? (18) H* (4/2) H +7?	Son 15 Eri Cer (08) H* - Ven 16 Sed Eri (21) ? 0	Mer 5 Son Ura (03) H A +7? Jup 50p Ven Nep (07) H H* (12/6) +7? Cer 80p Jup Mak (08) H* A* +7? Mak 80p Son Cer (23) H A* +7? Cer 80p Jup GSZ (23) H A* +7?	Mer 6 Son Eri (02) H H +7? Son 29 Nep Ven (06) T A A* W* - Mer 23 Ven Cer (07) H* +14		
Index 2 (12 -12 UTC)	0	0	-7	0	0	0	0	0	0	7	0		
Index 2 ALTERNATIV		7											
ausgelöste LL-Aspekte	Cer 30 Pal T-5 Ves 45 Cer H5 Hau 180 Eri ?	Son 180 GSZ T-3/0 Son 180 Mak Hf 0+9 Cer 30 Pal T-5 Ves 45 Cer H5 Hau 180 Eri ?	Son 180 GSZ T-3/0 Son 180 Mak Hf 0+9 Cer 30 Pal T-5 Ves 45 Cer H5 Hau 180 Eri ?	Cer 30 Pal T-5 Ves 45 Cer H5 Chi 30 Eri A*(5/7) 0 Hau 180 Eri ?	Ves 45 Cer H5 Cer 30 Eri H5 Chi 30 Eri A*(5/7) 0 Hau 180 Eri ?	Chi 30 Eri A*(5/7) 0 Hau 180 Eri ?	Chi 30 Eri A*(5/7) 0 Chi 150 Hau T*-8 Hau 180 Eri ?			Chi 30 Eri A*(5/7) Chi 150 Hau T*-8	Chi 30 Eri A*(5/7) Chi 150 Hau T*-8		
Index 3 (Summe)	0	-3	-3	0	10	0	-8	0	0	-8	-8		
Index 3 ALTERNATIV		9	9										
Symbol-Frognose	3	2	2	2	2	3	3	3	3	3	3		
Wochentag	Mo	Di	Mi	Do	Fr	Sa	So	Mo	Di	Mi	Do		
Datum	21	22	23	24	25	26	27	28	29	30	31		
reale Wetterlage													
Luftdruck (hpa) 06 UTC	1020	1016	1009,9	1015,9	1017,3	1021,4	1011	1008,8	1013,5	1012,1	1010,1		
mittl. Temp.(°C)	5,8	7,6	7,4	6,4	7,2	11	8,9	8,8	11,4	11,1	10,3		
Sonnenscheindauer (h)	4,3	8	1,7	2,1	0	9,5	1,9	1,6	4,6	0,6	0,3		
Niederschlag (Liter)	0	0,1	0	0,3	6,5 / 8	0	1,5 / 2	6,2 / 8	1,3	2,4 / 7	0,3		
Bodenwetterlage 00 UTC (Kernlage des Druckgebiets, das SW-D beeinflusst)	H sw Irland	H vor SW-GB	H ü GB, T ü Tyrnm	H ü Biskaya	H ü O-Alpen, T bei Island	H ü F	T ü Schottl	T ü SW-GB, kl H-Zelle ü S-	T v S-Norwegen	T ü GB	T mit Kernen ü F, Iber, SW-Mm		
Bodenströmung 12 UTC zyklonal (z), antizyklonal (a)	a	a	a	a	fl a	a	a	z	fl a	fl z	z		
Strömung auf 500 hpa 00 UTC	NW z	NW fl z	NW z	N a-z	NW a	NNW a-z	SW a	W z	W fl z	WSW fl a	SW a		
zutreffende Wattersymbole	3 r	3 r	5 hr	3-5 f	5 f	2 hr	5 hr	3 r	3 r	5 hr	3-5 r		

13:31	01:59	00:20	08:20	03:56	03:53	02:49	00:47	03:31	00:33	01:41
MER 135 JUN FIS 29*06'52" SKO 14*06'50" A	SON 180 FY9 WID 02*17'27" WAA 02*17'28" T-3 / 0 A	VES 135 KN1 STI 06*15'59" JUN 21*15'59" H* +10 A*	CHI 45 VES FIS 21*49'54" STI 06*49'54" A*	MER 45 PAL WID 06*16'43" WAS 21*16'43" H +1 A	VEN 144 EL6 WID 06*52'06" WAS 21*52'06" A	SON 45 PAL WID 06*52'06" WAS 21*52'06" A	MAR 90 ORC SCH 06*33'17" JUN 06*33'18" H +4 A	SON 30 VES WID 08*52'30" STI 08*52'30" A	SON 45 SED WID 09*44'28" STI 24*44'28" A	VEN 30 PAL FIS 23*02'28" WAS 23*02'27" A
15:41	06:40	00:46	12:07	07:45	10:33	05:57	06:02	08:41	03:03	20:50
MER 72 PLU FIS 29*17'30" STE 17*17'30" A	VEN 135 VAR FIS 12*10'26" KRE 27*10'26" T-2 A	CER 180 KN1 FIS 21*15'55" JUN 21*15'55" A*	CHI 0 CER FIS 21*50'28" FIS 21*50'28" A*	MER 150 ORC WID 06*35'58" JUN 06*36'00" A	SON 120 MAR WID 06*11'52" SCH 06*11'52" A W A K	MER 30 NEP WID 10*30'15" JUN 06*33'05" A K	MER 144 ORC WID 12*33'06" FIS 20*55'48" JUN 20*55'49" T-1 A W A	VEN 180 KN1 FIS 20*55'48" JUN 20*55'49" A W A	MER 120 SAT WID 16*23'13" SCH 16*23'14" A	MER 0 URA WID 19*56'08" WID 19*56'10" A
16:09	11:55	04:08	19:27	11:59	11:13	08:30	09:34	18:37	07:03	
VEN 72 QUA FIS 11*25'34" SCH 29*25'33" A	SON 180 GSZ WID 02*17'27" WAA 02*17'28" T-3 / 0 A	MER 180 GSZ WID 02*17'26" WAA 02*17'28" T-5 A	PAL 150 KN1 WAS 21*10'17" JUN 21*10'16" T*-5 A	VEN 180 JUP FIS 16*09'22" JUN 16*09'22" H T K-2 A	VEN 60 PLU FIS 17*21'10" STE 17*21'09" A	CER 150 EL6 FIS 22*57'12" WAA 22*57'12" A	VEN 30 URA FIS 19*44'23" WID 19*44'23" A	MER 150 JUP WID 15*40'06" JUN 15*40'09" T A	PAL 60 ERI WAS 22*48'46" WID 22*48'46" A*	
17:20	16:23	10:18	22:45	18:49	14:39	14:31	13:46	09:09		
MER 90 QUA FIS 29*25'35" SCH 29*25'33" A	VEN 72 SED FIS 12*40'28" STI 24*40'27" A	JUP 90 SAT JUN 16*24'08" SCH 16*24'08" A*	MER 120 MAR WID 05*50'37" SCH 05*50'39" T - A	VEN 90 SAT FIS 16*24'18" SCH 16*24'19" H W +2 A*	VEN 144 FY9 STI 07*47'37" WAA 01*47'38" A*	SON 144 JUN WID 07*21'02" SKO 13*21'01" A	MER 150 JUN WID 13*12'37" SKO 13*12'37" A	VEN 0 CHI FIS 22*11'24" FIS 22*11'23" Tf		
	18:15	15:38	17:29	19:42	15:41			13:35		
	CER 45 VES FIS 21*09'33" STI 06*09'33" H* +5 A	VEN 120 JUN FIS 13*52'19" SKO 13*52'20" T-2 A	MER 30 VES WID 07*25'06" STI 07*25'06" A*	SON 150 ORC WID 06*34'30" JUN 06*34'30" H +3 A	CHI 30 PAL FIS 22*01'44" WAS 22*01'44" A*			PAL 120 EL6 WAS 22*53'34" WAA 22*53'34" T*		
	22:58	20:12	19:35	20:36	18:41			14:55		
	MER 180 FY9 WID 01*51'48" WAA 01*51'49" H +2 A	SON 0 MER WID 03*37'29" WID 03*37'29" H +2 A	MER 144 JUN WID 07*35'45" SKO 13*35'48" Hf +7 A	MER 45 SED WID 09*42'40" STI 24*42'41" T-1 A*	VEN 144 GSZ STI 08*17'28" WAA 02*17'28" A*			MER 90 PLU WID 17*23'49" STE 17*23'46" A		
		20:38		21:39				21:22		
		VES 120 ORC STI 06*37'30" JUN 06*37'30" H* +10 A		CER 30 ERI FIS 22*46'37" WID 22*46'37" A*				VEN 30 ERI FIS 22*49'08" WID 22*49'09" A		
				22:04				22:10		
				VEN 144 APO FIS 17*54'41" WAA 23*54'40" T W -4 A				SON 30 NEP WID 10*37'50" FIS 10*37'50" T		
								22:40		
								VEN 150 EL6 FIS 22*53'09" WAA 22*53'08" H		
								23:27		
								CER 150 APO FIS 24*21'48" WAA 24*21'48" A*		

März 2016  **Prognose für SW-Deutschland, korrigiert bei Auswertung**


01.03.2016										
Langsamläufer-Impulse	T*		2H*		H*		H*		H*	
Schnellläufer-Impulse	2T	H	3Tf, 2Hf	H	3H, 2Hf	2H, Hf	4T	H, T	H, T, Tf, T	
Temperaturimpulse	W?*		2K, W		2W	K, W?		W	W, K*	
Premeteo-Index -zyklonal, + antizyklonal (Index 1+2+3)	-8	-1	-11	-27	-9	20	3	0	9	
Pre.IX (ALTERNATIV)										
Index 1 (12 - 12 UTC) exakte Aspekte des Tages	0	-3	-17	1	0	13	3	0	9	
Index 1(ALTERNATIV)										
Symmetrien (0 - 0 UTC)	Auslösung Index? Son 2 Nep Cer (07) H W A W ---	Son 73 Qua Sed (02) T A ?-7 Cer 174 Jup Orc (05) H* A* +7 Plu 31 Ven Sat (16) A W? H*(12/4) T +7	Son 6op Jup Orc (04) H W H +7? Hau 5op Ura Ves (19) H?*(5/1.5) A* +7? Jup 150 Ven Ura (20) Tst K A* A -14	Mer 61 Ves GaZ (00) A Tf H* -14 Var 150 GaZ Mer (01) ? HF K Tf --- Mer 60 Ves Qua (20) A H A* (+7) Orc 8op Son Mer (22) H A +7?	Mer 15 Pal Cer (04) T* -14 Son 6 Nep Chi (08) H W A K? (+7) Sat 31 Plu Jun (14) H*(12/4) A* H* +7 Mer 15 Son Pal (14) H(+14) Mer 9 Ven Nep (23) A W HW +7?		Nep 7 Son Mer (01) H W H W --- Mer 46 Ura Plu (03) T A A?*(2.5/2) --- Orc 3op Nep Mer (20) A?*(3/1.5) A ? Cer 6 Nep Chi (21) T* W* A* -7?	Son 3 Chi Cer (08) A K? A W (Auslösung!) Jup 3op Chi Cer (18) H?*(14/8) H* ---	Var 150 Ven GaZ (12) Tst. T?*(1/4) T -14	
Index 2 (12 - 12 UTC)		0	7	-28	-14	7	0	0	0	
Index 2 ALTERNATIV										
ausgelöste LL-Aspekte	wegen Konj.-Symmetrie Son 72 Qua T-3 Cer 30 Pal-5	Ven 135 GSZ H2	Mer 144 GSZ T-1 Cer 30 Pal T-5 Ves 45 Cer H5	Cer 30 Pal T-5 Ves 45 Cer H5	Cer 30 Pal T-5 Ves 45 Cer H5 Jun 120 Cer H5			Auslösung Index? Son 60 Plu T (-3) Son 144 Hau (-3)		
Index 3 (Summe)	-8	2	-1	0	5	0	0	0	0	
Index 3 ALTERNATIV										
Symbol-Prognose	3	3	5	5	3	2	3	3	3	
Symbol-Prognose altern.	3	3	5	5	3	2	3	3	3	
Wochentag	Di	Mi	Do	Fr	Sa	So	Mo	Di	Mi	
Datum	1	2	3	4	5	6	7	8	9	
reale Wetterlage	H1: T*, 2T / -8	T1: 3Tf - 3H*, 4Hf, 5 H / -48				H2: 2H*, Hf, 4H - 6T / +32			T2: Tf, T - H*, H	
Luftdruck (hpa) 06 UTC	1023,7	1009,6	1004,1	1005,6	995,9	1003,2	1005,6	1013,9	1014,2	
mittl. Temp. (°C)	4,1	5,3	3,5	4,5	5,8	3,4	3,3	1,7	2,8	
Sonnenscheindauer (h)	6,2	0,1	0,4	0,3	0	1,3	4,5	0	8,4	
Niederschlag (Liter)	1,5 / 2	9,3 / 15	4 / 3	5,2 / 2	10,3 / 8,5	1,7 / 8,5	4 / 2	0,7 / 15	0	
Bodenwetterlage 00 UTC (Kernlage des Druckgebiets, das SW-D beeinflusst)	Azorenhoch, T ü M-Mm	T ü Nm	T ü Nsee	schmale H-Zone zw T ü GB und T ü Balkan	Tief ü Benelux	T ü Niederlande	fl H-Keil zw Tief über Bisk u T ü S-Skand	T ü Karpaten	H ü S-D, T ü SW-GB, fl T ü Tyrin.M	H ü Balt, T ü F, Tü W.-M-MmR
Bodenströmung 12 UTC zyklonal (z), antizyklonal (a)	a	z	z	z	a-z	fl a	a-z	a	z	
Strömung auf 500 hpa 00 UTC	N fl a	NW a	z	NW fl a	SW z	SW z	W z	z	N a-z	
zutreffende Wettersymbole	3 r	5 hr	5 r	5 r	5 hr	5 f	3-5 hr	5 hr	2 hr	

Übertrag	01:09	01:32	01:14	05:38	00:15	02:23	00:28	01:01	00:46	03:57
Index 1: +5	VEN 60 SAT	MER 90 SED	VEN 60 URA	MER 72 SAT	SON 30 PAL	VEN 150 KN1	VEN 120 EL6	VEN 90 SED	SAT 60 PAL	SAT 90 CER
Index 2: 0	WAS 15°54'43" SCH 15°54'41" T -2	WAS 24°32'00" STI 24°32'02" A	WAS 18°23'27" WID 18°23'26" A	WAS 28°01'54" SCH 16°01'54" H +1	FIS 14°51'15" WAS 14°51'14" H (+3)	WAS 22°09'44" JUN 22°09'43" H K +4	WAS 23°18'02" WAA 23°18'01" A	WAS 24°33'59" STI 24°34'00" A	SCH 16°10'53" WAS 16°10'53" A*	SCH 16°12'41" FIS 16°12'41" A*
	08:06	03:09	03:02	06:13	00:28	06:05	04:42	10:59	07:12	05:41
	MER 120 EL6	VEN 135 FY9	MER 144 FY9	MAR 30 QUA	MER 60 QUA	SON 90 SAT	SON 60 PLU	SON 180 JUP	VEN 144 FY9	VEN 150 VAR
	WAS 23°22'53" WAA 23°22'53" A	WAS 17°15'08" WAA 02°15'09" A	WAS 26°14'07" WAA 02°14'05" HF ---	WAS 28°34'35" SCH 29°18'35" A	WAS 29°19'01" SCH 29°19'02" H (+1)	FIS 16°05'57" SCH 16°05'57" A W?	FIS 17°02'34" STE 17°02'34" T -3	FIS 18°18'20" JUN 18°18'18" H W ---	WAS 26°07'21" WAA 02°07'20" A	WAS 27°16'54" KRE 27°16'54" Tf K -8
	10:42	03:53	03:51	13:38	05:44	09:48	08:08	13:45	10:28	07:06
	SON 72 QUA	VEN 135 GSZ	MER 144 GSZ	MER 60 VES	MER 90 MAR	VEN 120 QUA	MAR 72 JUP	PAL 144 KN1	VEN 144 GSZ	MER 135 EL6
	FIS 11°16'46" SCH 29°16'47" T -3	WAS 17°17'24" WAA 02°17'25" H +2	WAS 26°17'24" WAA 02°17'25" Tf -7	WAS 28°34'35" WID 28°34'34" A	WAS 29°40'42" SKO 29°40'42" Hf (+7)	WID 29°19'49" SCH 29°19'50" A*	SCH 00°27'04" JUN 18°27'04" T -4	WAS 16°01'52" JUN 22°01'52" A	WAS 26°17'27" WAA 02°17'27" A W	MER 08°15'00" WAA 23°14'59" A
	10:47	06:06	03:56	21:01	07:22	10:25	08:34	19:59	12:14	16:59
	VEN 144 KN1	MAR 144 ERI	SON 45 VES	VEN 30 CHI	SON 120 JUN	VEN 60 ERI	CER 120 JUN	SON 30 URA	MER 180 ORC	MER 72 GaZ
	WAS 16°24'31" JUN 22°24'30" A	SKO 28°32'24" WID 22°32'24" A	FIS 13°00'11" WAS 20°38'53" WID 26°00'11" A	WAS 20°38'53" FIS 15°09'03" Hf (+9)	FIS 15°09'04" SKO 15°09'03" Hf (+9)	WAS 22°34'35" WID 22°34'34" H +4	FIS 15°06'17" WAS 15°06'17" H +10	FIS 18°40'50" WID 18°40'49" T -3	FIS 06°53'11" JUN 06°53'13" A	FIS 08°58'09" SCH 26°58'07" T -1
	15:37	12:55	08:25		14:14	11:50	10:02	20:39	13:30	
	VES 90 VAR	SON 135 VAR	PAL 45 QUA		VEN 120 APO	JUP 150 URA	MER 144 VAR	ORC 45 APO	MER 135 APO	
	WID 27°23'15" KRE 27°23'16" T -5	FIS 12°22'32" KRE 27°22'33" H* +5	WAS 14°18'01" SCH 29°18'01" H* +5		WAS 21°32'08" WAA 21°32'07" H W +2	JUN 18°33'42" WID 18°33'42" A*	FIS 03°18'52" KRE 27°18'51" A	FIS 06°53'58" WAA 21°53'58" H* +11	FIS 06°58'39" WAA 21°58'39" H +1	
	20:51	16:47	12:05		16:52	15:43	10:43		13:40	
	VEN 30 PLU	SON 72 SED	VEN 150 JUP		SON 144 APO	MER 45 PLU	SON 144 EL6		APO 30 KN1	
	WAS 16°55'39" STE 16°55'40" A W?	FIS 12°32'14" STI 24°32'13" A	WAS 18°57'00" JUN 18°57'00" Tf K -8		FIS 15°32'52" WAA 21°32'51" A W	FIS 02°01'52" STE 17°01'54" A	FIS 17°17'37" WAA 23°17'38" T -6		WAA 21°58'42" JUN 21°58'42" A* K*	
			13:55		20:58	17:42	14:20		13:48	
			MER 60 GaZ		PAL 90 JUN	MER 150 FY9	MER 45 URA		CER 144 APO	
			WAS 26°58'04" SCH 26°58'04" Tf -7		WAS 15°08'26" SKO 15°08'26" H* +5	FIS 02°10'10" WAA 02°10'10" Hf +7	FIS 03°37'02" WID 18°37'03" T -1		WAA 21°58'44" A*	
			19:43		19:26				22:14	
			MER 150 VAR		MER 150 GSZ				MER 45 ERI	
			WAS 27°21'34" KRE 27°21'32" Hf K ---		FIS 02°17'26" WAA 02°17'26" A				FIS 07°36'28" WID 22°36'28" A	
			20:19		20:19				23:37	
			VES 144 KN1		VES 144 KN1				VEN 60 GaZ	
			WID 28°16'53" JUN 22°16'53" H* ---		WID 28°16'53" JUN 22°16'53" H* ---				WAS 26°58'08" SCH 26°58'07" T -2	
			21:37		21:37					
			SON 0 CER		SON 0 CER					
			FIS 13°44'31" FIS 13°44'31" A W		FIS 13°44'31" FIS 13°44'31" A W					

März 2016  **Prognose für SW-Deutschland, korrigiert bei Auswertung**

Langsamläufer-Impulse	H*		H*	T*	H*				H?*	H*
Schnellläufer-Impulse	H	T, Hf	T	3T, H	2H, 2T	H	H	2H, 2T	2T, H	2T
Temperaturimpulse	K?, W	W		K	K?	W?				W
Premeteo-Index -zyklonal, + antizyklonal (Index 1+2+3)	-1	17	5	1	25	21	7	15	10	8
Pre.IX (ALTERNATIV)				-9	20				21	
Index 1 (12 - 12 UTC) exakte Aspekte des Tages	-1	9	-3	4	2	10	3	3	-1	-3
Index 1 (ALTERNATIV)				-6	-3				10	
Symmetrien (0 - 0 UTC)		Cer 5 Son Mer (09) A H --- Sat 74 Ven Mak (20) T --- Jup 5op Son Mer (20) H W A +??	Cer 4 Chi Mer (09) A* H --- Mer 4 Nep Cer (09) H W H +?? Jup 4op Chi Mer (14) H? (148) A --- Mak 150 Ven Ves (19) T A A -7	Nep 8 Ven Cer (06) A W T W - ?? Mer 6 Nep Chi (11) H W A +?? Chi 3 Son Cer (16) A K? A* Auslösung! Plu 31 Sar Pal (20) H? (124) H A +14 Ven 46 Ura Plu (22) H K? A A? (2,5/2) --- Ven 15 Pal Cer (22) T* (-14) Son 7op Jup Mak (22) H W H +??	Jup 7op Son Nep (02) H W H +?? Son 7op Jup GSZ (01) H W T ? Nep 7 Ven Mer (02) A W H W +?? Orc 3op Ven Nep (06) A ? ? Chi 4 Son Mer (09) A K? A --- Mer 8 Son Nep (14) H W H +??	Mer 1 Chi Cer (21) A* H Auslösung!	Cer 30 Ura Pal (03) A* T A -7	Jup 7op Nep Mer (19) H? (126) A +??	Mer 5 Son Cer (02) H H --- Mer 8op Jup Mak (03) A H +?? Jup 8op Ven Mer (11) H A +?? Mer 4 Son Chi (17) H A ---	Cer 10 Son Nep (09) A W T W - ??
Index 2 (12 - 12 UTC)	0	0	0	-7	14	0	-7	0	0	0
Index 2 ALTERNATIV										
ausgelöste LL-Aspekte	Nep 72 GaZ A? (1/2) 0	Son 180 Kn1 T-3 Hau 180 Eri H?+11	Son 150 Hau T-3 Hau 180 Eri H?+11	Ven 150 GSZ T-2 Son 150 Hau T-3 Hau 180 Eri H?+11	Ven 150 GSZ T-2 A W H W +?? Hau 180 Eri H?+11	Cer 30 Pal T-5 Ves 45 Cer HS Hau 180 Eri H?+11	Hau 180 Eri H?+11	Mer 30 Eri H1 Hau 180 Eri H?+11	Hau 180 Eri H?+11	Hau 180 Eri H?+11
Index 3 (Summe)	0	8	8	4	9	11	11	12	11	11
Index 3 ALTERNATIV										
Symbol-Prognose	3	2	3	3	2	2	3	2	2	3
Woche	Fr	Sa	So	Mo	Di	Mi	Do	Fr	Sa	So
Datum	11	12	13	14	15	16	17	18	19	20
reale Wetterlage	/-25	H3: 5H*, 3Hf, 14H - 2T*, 18T - H? / +200								
Luftdruck (hpa) 06 UTC	1024,2	1026,6	1027,3	1028,5	1026,2	1020,9	1026,6	1022,9	1021	1020,5
mittl. Temp.(°C)	3,2	5,3	6	5,8	2,4	5,5	4,4	5,8	3,3	5
Sonnenscheindauer (h)	7,5	3,7	2,1	6,3	2,8	6,1	11	11	3,9	5,1
Niederschlag (Liter)	0	0	0	0	1,6/2	0	0	0	0	0
Bodenwetterlage 00 UTC (Kernlage des Druckgebiets, das SW-D beeinflusst)	fl, okkl T zw Sizilien und Tunes, H ü S-Schweden	H ü DäneN-D, okkl T zw Sizilien u Tunesien	H ü S-Schweden, T ü S-Italien	H ü Nsee	H ü N-Nsee, T ü O-Eu	H ü N-Nsee, ü S- Osee,	H ü N-Nsee	H bei Schottl	H w Schottl	H westl Irland
Bodenströmung 12 UTC zyklonal (z, antizyklonal (a))	a-z	a-z	fl z	fl a	a-z	z	a-z	fl a	a	fl a
Strömung auf 500 hpa 00 UTC	fl z	NO fl a	z	ONO fl a	O a	NO z	SO z	W a-z	W a	a-z
zutreffende Wettersymbole	3 r	5 f	5 hr	2-5 r	5 f	3 hr	2 hr	2 r	2-5 r	2-5 r

VEN 72 SAT WAS 28°13'55" SCH 16°13'55" A	00:07	SON 180 KN1 FIS 21°50'59" JUN 21°50'58" T W -3	00:06	SON 150 EL6 FIS 23°12'02" WAA 23°12'01" T -3	08:35	VEN 150 FY9 FIS 02°01'58" WAA 02°01'58" T -2	01:51	VEN 144 VAR FIS 03°13'58" KRE 27°13'57" H +2	01:08	MER 0 CER FIS 18°30'31" FIS 18°30'33" H ---	00:05	SON 90 GAZ FIS 26°58'10" SCH 26°58'10" H +1	03:22	MER 30 ERI FIS 22°41'17" WID 22°41'17" H +1	05:34	MER 60 SED FIS 24°38'44" STI 24°38'45" T -1	06:12	MER 90 GAZ FIS 26°58'10" SCH 26°58'12" T -1	11:07
SAT 135 VES SCH 16°13'56" STI 01°13'56" A*	00:21	MER 72 QUA FIS 11°22'34" SCH 29°22'35" A*	01:45	JUP 150 PAL FIS 17°38'36" WAS 17°38'37" A*	12:54	VEN 45 PLU FIS 02°10'31" STE 17°10'30" A*	04:37	MER 144 EL6 FIS 17°10'08" WAA 23°10'06" A	06:40	MER 30 URA FIS 19°04'24" WID 19°04'23" A W?	07:23	SON 120 VAR FIS 27°12'41" KRE 27°12'42" A	09:12	MER 150 APO FIS 22°57'35" WAA 22°57'34" A	09:00	SON 72 PLU FIS 27°11'11" STE 17°15'35" T -2	10:38	MER 120 VAR FIS 27°11'11" KRE 27°11'10" T -2	13:48
SON 0 CHI FIS 21°01'58" FIS 21°01'58" A K?	04:28	MAR 45 PLU SCH 02°08'22" STE 17°08'22" A	04:32	VES 150 GSZ STI 02°17'27" JUN 02°17'27" A*	13:25	JUP 135 VES FIS 17°33'29" STI 17°33'29" A*	04:47	MER 60 PLU FIS 17°11'35" STE 17°11'38" T -1	06:59	MAR 150 VES SCH 03°30'33" STI 03°30'33" A	11:20	MER 0 CHI FIS 21°25'20" WID 19°11'08" FIS 21°25'19" A*	13:30	URA 60 PAL WID 19°11'08" WAS 19°11'08" T ---	09:19	SON 135 JUN FIS 29°19'42" SKO 14°19'41" T ---	12:18	VEN 0 NEP FIS 10°16'23" FIS 10°16'24" A W	17:46
MER 0 NEP FIS 09°55'24" WAS 17°17'27" FIS 09°55'26" H W	06:02	PAL 135 GSZ WAS 17°17'27" WAA 02°17'27" H +10/0	10:37	JUP 180 CER FIS 02°17'25" JUN 17°37'04" H +10/0	17:41	VEN 150 GSZ FIS 02°17'25" WAA 02°17'27" T -4	06:51	MER 180 JUP FIS 17°24'10" JUN 17°24'10" A	09:43	MAR 72 KN1 SCH 03°35'50" JUN 21°35'51" A	18:16	URA 30 CER WID 19°08'38" FIS 19°08'38" A*	14:51	MER 150 EL6 FIS 23°06'51" WAA 23°06'51" A	14:57	EL6 0 APO WAA 23°05'40" WAA 23°05'40" H? (9,5/4) 0/+11 H +6	10:57	JUN 144 ERI FIS 16°42'52" WID 22°42'52" H? (9,5/4) 0/+11 H +6	20:47
PAL 135 FY9 WAS 17°04'34" WAA 02°04'34" A*	18:41	SON 150 APO FIS 22°17'59" WAA 22°17'59" A	10:55	MER 120 JUN FIS 14°47'14" SKO 14°47'16" A	23:22	VEN 60 VES FIS 02°44'57" STI 02°44'56" A	15:45	VEN 45 URA FIS 04°02'25" WID 19°02'26" H K? +2	16:48	JUP 120 PLU FIS 17°13'10" STE 17°13'10" A*	20:11	MER 180 KNI FIS 21°33'07" JUN 21°33'05" A	15:09	JUN 45 QUA SKO 14°24'51" SCH 29°24'51" A*	14:52	SON 90 QUA FIS 29°25'05" SCH 29°25'06" H +3	14:28		
VEN 60 QUA WAS 29°22'32" SCH 29°22'32" A	22:18	PLU 60 CER STE 17°08'44" FIS 17°08'44" A*	12:53	SON 60 SED FIS 24°36'42" WID 22°39'47" WAA 22°39'47" H +11	18:33	ERI 180 APO WID 22°39'47" WAA 22°39'47" H +11	17:11		17:11		21:01	VEN 180 ORC FIS 06°43'52" JUN 06°43'51" A	15:40	VEN 45 ERI FIS 07°41'31" WID 22°41'32" H +2	15:40	VEN 72 GAZ SCH 08°58'11" SCH 26°58'12" H +2	16:28		
PLU 30 PAL STE 17°08'07" WAS 17°08'07" H +5	23:04	MER 135 VAR FIS 12°15'24" KRE 27°15'25" Hf +7	13:37	MER 90 SAT FIS 18°18'42" SCH 16°18'41" H +1	19:27	MER 45 VES FIS 18°15'19" STI 03°15'20" T -1	20:48		20:48		17:36	CHI 180 KNI FIS 21°29'35" JUN 21°29'35" A*	19:45						
MAR 60 FY9 SCH 02°04'19" WAA 02°04'19" A	23:42	MAR 60 GSZ SCH 02°17'27" WAA 02°17'27" A	15:29	VEN 90 MAR FIS 03°00'34" SCH 03°00'35" A K	20:48	MER 30 PAL FIS 18°24'58" WAS 18°24'57" A	22:53		22:53		19:45	MAR 135 URA SCH 04°12'33" WID 19°12'33" T -4	19:45						
		CER 144 EL6 FIS 17°12'40" WAA 23°12'40" A*	16:53	MER 144 APO FIS 16°34'43" WAA 22°34'42" T ---	22:57				22:57		22:02	VEN 135 APO FIS 08°01'12" WAA 23°01'11" T ---	22:02						
		MER 72 SED FIS 12°35'49" STI 24°35'50" A	18:11	CER 30 PAL FIS 18°06'03" WAS 18°06'03" T 0 / -5	23:09				23:09		23:41	VEN 135 EL6 FIS 08°06'18" WAA 23°06'17" A	23:41						
		SON 30 ERI FIS 22°38'06" WID 22°38'05" A	18:59																
		VES 150 FY9 STI 02°03'12" WAA 02°03'12" A*	23:44																

März 2016  **Prognose für SW-Deutschland, korrigiert bei Auswertung**

Langsamläufer-Impulse			2H*	T*						T*		
Schnellläufer-Impulse		Hf, 2T, H	T, H	T	3H, Hf	3T, H		H, T	T	2H, Tf, T		
Temperaturimpulse					W	2W, K	K		W			
Premeteo-Index zyklonal, = antizyklonal (Index 1+2+3)	17	2	16	23	15	18	1	3	0	-5	-9	
Pre.IX (ALTERNATIV)		16	31									
Index 1 (12 - 12 UTC) exakte Aspekte des Tages	6	-6	15	12	4	7	-2	3	0	-4	-1	
Index 1 (ALTERNATIV)		7										
Symmetrien (0 - 0 UTC)	Jup 50p Ven Chi (18) H H* (14/8) +?7 Ven Sop Jup Orc (20) H A +?7 Cer 9 Ven Mer (23) A W H ---	Jup 40p Ven Cer (06) H H* +?7 Son 180 Mak GSZ (07) HF T ? Chi 9 Ven Mer (12) Tst A --- Mak 10p Son Mer (16) HF H 0+?7 GSZ 180 Son Mer (23) T A -7	Mer 180 Mak GSZ (01) H A 0+?7 Mar 22 Jun Gaz. (08) H* ---	Orc 150p Pal Cer (22) T* --- Jup Sop Nep Cer (23) H* (12/6) H* +?7	Ven 6 Nep Chi (12) A W Tst --- Mer 16 Chi En (16) ? --- Mer 15 En Cer (19) H* 0 Sat 90 Ven Jup (23) H W A* H ---			Mak 100p Chi Mer? (18) H*(4/2) H +?7	Son 15 Eri Cer (08) H* --- Ven 16 Sed Eri (21) ? 0	Mer 5 Son Ura (03) H A +?7 Jup 50p Ven Nep (07) H H* (12/6) +?7 Cer 80p Jup Mak (08) H* A* +?7 Mak 80p Son Cer (23) H A* +?7 Cer 80p Jup GSZ (23) H A* +?7	Mer 6 Son Eri (02) H H +?7 Son 29 Nep Ven (06) T A A* W* - Mer 23 Ven Cer (07) H* +14	
Index 2 (12 -12 UTC)	0	0	-7	0	0	0	0	0	0	7	0	
Index 2 ALTERNATIV		7										
ausgelöste LL-Aspekte	Cer 30 Pal T-5 Hau 180 Eri H?+11	Son 180 GSZ T-3/0 Son 180 Mak HF 0+9 Cer 30 Pal T-5 Ven 45 Cer H5 Hau 180 Eri H?+11	Son 180 GSZ T-3/0 Son 180 Mak HF 0+9 Cer 30 Pal T-5 Ven 45 Cer H5 Hau 180 Eri H?+11	Cer 30 Pal T-5 Cer 30 Eri H5 Chi 30 Eri A*(5/7) 0 Hau 180 Eri H?+11	Ven 45 Cer H5 Cer 30 Eri H5 Chi 30 Eri A*(5/7) 0 Hau 180 Eri H?+11	Chi 30 Eri A*(5/7) 0 Hau 180 Eri H?+11	Chi 30 Eri A*(5/7) 0 Chi 150 Hau T*-8 Hau 180 Eri H?+11			Chi 30 Eri A*(5/7) Chi 150 Hau T*-8	Chi 30 Eri A*(5/7) Chi 150 Hau T*-8	
Index 3 (Summe)	11	8	8	11	11	11	3	0	0	-8	-8	
Index 3 ALTERNATIV		9	9									
Symbol-Frognose	2	2	2	2	2	2	3	3	3	3	3	
	2	2	2	2	2	2	3	3	3	3	3	
Wochentag	Mo	Di	Mi	Do	Fr	Sa	So	Mo	Di	Mi	Do	
Datum	21	22	23	24	25	26	27	28	29	30	31	
reale Wetterlage								T3: T, Tf, 3T - 3H / -10				
Luftdruck (hpa) 06 UTC	1020	1016	1009,9	1015,9	1017,3	1021,4	1011	1008,8	1013,5	1012,1	1010,1	
mittl. Temp.(°C)	5,8	7,6	7,4	6,4	7,2	11	8,9	8,8	11,4	11,1	10,3	
Sonnenscheindauer (h)	4,3	8	1,7	2,1	0	9,5	1,9	1,6	4,6	0,6	0,3	
Niederschlag (Liter)	0	0,1	0	0,3	6,5 / 8	0	1,5 / 2	6,2 / 8	1,3	2,4 / 7	0,3	
Bodenwetterlage 00 UTC (Kernlage des Druckgebiets, das SW-D beeinflusst)	H sw Irland	H vor SW-GB	H ü GB, T ü Tyrnm	H ü Biskaya	H ü O-Alpen, T bei Island	H ü F	T ü Schottl	T ü SW-GB, kl H-Zelle ü S-	T v S-Norwegen	T ü GB	T mit Kernen ü F, Iber, SW-Mm	
Bodenströmung 12 UTC zyklonal (z), antizyklonal (a)	a	a	a	a	fl a	a	a	z	fl a	fl z	z	
Strömung auf 500 hpa 00 UTC	NW z	NW fl z	NW z	N a-z	NW a	NNW a-z	SW a	W z	W fl z	WSW fl a	SW a	
zutreffende Wettersymbole	3 hr	3 r	5 f	3-5 f	5 f	2 r	5 r	3 r	3 r	5 hr	3-5 r	

13:31	01:59	00:20	08:20	03:56	03:53	02:49	00:47	03:31	00:33	01:41
MER 135 JUN FIS 29*06'52" SKO 14*06'50" A	SON 180 FY9 WID 01*52'49" WAA 01*52'49" HF 0 / +9	VES 135 KN1 STI 06*15'59" JUN 21*15'59" H* +10	CHI 45 VES FIS 21*49'54" STI 06*49'54" A*	MER 45 PAL WID 06*16'43" WAS 21*16'43" H+1	VEN 144 EL6 WID 06*52'06" WAS 21*52'06" A	SON 45 PAL WID 06*52'06" WAS 21*52'06" H+4	MAR 90 ORC SCH 06*33'17" JUN 06*33'18" A	SON 30 VES WID 08*52'30" STI 08*52'30" H +2	SON 45 SED WID 09*44'28" STI 24*44'28" H +2	VEN 30 PAL FIS 23*02'28" WAS 23*02'27" A
15:41	06:40	00:46	12:07	07:45	10:33	05:57	06:02	08:41	03:03	20:50
MER 72 PLU FIS 29*17'30" STE 17*17'30" A	VEN 135 VAR FIS 12*10'26" KRE 27*10'26" T-2	CER 180 KN1 FIS 21*15'55" JUN 21*15'55" A*	CHI 0 CER FIS 21*50'28" JUN 06*36'00" A*	MER 150 ORC WID 06*35'58" JUN 06*36'00" A W	SON 120 MAR WID 06*11'52" SCH 06*11'52" A K	MER 30 NEP WID 10*30'15" FIS 10*30'15" A K	MER 144 ORC WID 12*33'06" JUN 06*33'05" T-1	VEN 180 KN1 FIS 20*55'48" JUN 20*55'49" A W	MER 120 SAT WID 16*23'13" SCH 16*23'14" A	MER 0 URA WID 19*56'08" WID 19*56'10" A
16:09	11:55	04:08	19:27	11:59	11:13	08:30	09:34	18:37	07:03	
VEN 72 QUA FIS 11*25'34" SCH 29*25'33" A	SON 180 GSZ WID 02*17'27" WAA 02*17'28" T-3 / 0	MER 180 GSZ WID 02*17'26" WAA 02*17'28" A	PAL 150 KN1 WAS 21*10'17" JUN 21*10'16" T*-5	VEN 180 JUP FIS 16*09'22" JUN 16*09'22" H	VEN 60 PLU FIS 17*21'10" STE 17*21'09" T K-2	CER 150 EL6 FIS 22*57'12" WAA 22*57'12" A	VEN 30 URA FIS 19*44'23" WID 19*44'23" A	MER 150 JUP WID 15*40'06" JUN 15*40'09" T-1	PAL 60 ERI WAS 22*48'46" WID 22*48'46" A*	
17:20	16:23	10:18	22:45	18:49	14:39	14:31	13:46		09:09	
MER 90 QUA FIS 29*25'35" SCH 29*25'33" A	VEN 72 SED FIS 12*40'28" STI 24*40'27" A	JUP 90 SAT JUN 16*24'08" SCH 16*24'08" A*	MER 120 MAR WID 05*50'37" SCH 05*50'39" T ---	VEN 90 SAT FIS 16*24'18" SCH 16*24'19" H W +2	VES 144 FY9 STI 07*47'37" WAA 01*47'38" A*	SON 144 JUN WID 07*21'02" SKO 13*21'01" A	MER 150 JUN WID 13*12'37" SKO 13*12'37" A		VEN 0 CHI FIS 22*11'24" FIS 22*11'23" Tf ---	
	18:15	15:38		17:29	19:42	15:41		13:35		
	CER 45 VES FIS 21*09'33" STI 06*09'33" H* +5	VEN 120 JUN FIS 13*52'19" SKO 13*52'20" T-2		MER 30 VES WID 07*25'06" STI 07*25'06" A*	SON 150 ORC WID 06*34'30" JUN 06*34'30" H +3	CHI 30 PAL FIS 22*01'44" WAS 22*01'44" A*		PAL 120 EL6 WAS 22*53'34" WAA 22*53'34" T*-5		
	22:58	20:12		19:35	20:36	18:41		14:55		
	MER 180 FY9 WID 01*51'48" WAA 01*51'49" H +2	SON 0 MER WID 03*37'29" WID 03*37'29" H +2		MER 144 JUN WID 07*35'45" SKO 13*35'48" HF +7	MER 45 SED WID 09*42'40" STI 24*42'41" T-1	VES 144 GSZ STI 08*17'28" WAA 02*17'28" A*		MER 90 PLU WID 17*23'49" STE 17*23'46" A		
		20:38			21:39			21:22		
		VES 120 ORC STI 06*37'30" JUN 06*37'30" H* +10			CER 30 ERI FIS 22*46'37" WID 22*46'37" A*			VEN 30 ERI FIS 22*49'08" WID 22*49'09" A		
					22:04			22:10		
					VEN 144 APO FIS 17*54'41" WAA 23*54'40" T W -4			SON 30 NEP WID 10*37'50" FIS 10*37'50" T-3		
								22:40		
								VEN 150 EL6 FIS 22*53'09" WAA 22*53'08" H +2		
								23:27		
								CER 150 APO FIS 24*21'48" WAA 24*21'48" A*		

März 2016: Fehlprognosen

Datum	Vorzeichen Symbol	Analyse
1.	-8 3 r	Azorenhoch. Ein interessanter Fall, da im Index 2 die Symmetrie Sonne 2° Neptun Ceres H A mit +7 Punkten hätte angerechnet werden können. Dies geschah nicht wegen der Aktivierung der fast-exakten T-Aspekte Sonne 72° Quaoar und Ceres 30° Pallas im Index 3. Die Symmetrie dominierte über die höherrangigen Aspekte des Index 3.
5.	+41 5 f Korrigiert -9 5 hr	Tief Bianca über Benelux. Zum 5. stieg der Premeteo-Index auf +41 an durch mehrere H- und Hf-Aspekte von Sonne und Merkur im Index1, der dadurch allein schon +22 Punkte aufwies. Doch Tief Bianca zog nicht schnell durch, wie es für Tiefs üblich ist, sondern stabilisierte sich mit einem Kern am Boden über den Benelux-Ländern und in der Höhe über dem Ärmelkanal. Dabei okkludierte es bei gleichbleibend tiefen Kerndruck von 995 hpa vollständig. Die großräumig aufsteigenden Luftmassen gingen konstellatorisch einher mit der Konjunktion Sonne 0° Ceres am 3. um 21:37 UTC, und mit Venus 120° Mondapogäum und Sonne 144° Mondapogäum am 5. um 14:14 und 16:52 UTC. Durch die Sonne-Ceres-Konjunktion wurde Ceres 30° Pallas T* als ranghöchster Aspekt des Tages im Index 3 aktiviert und Merkur bildete eine exakte 15°-Symmetrie zu diesem Aspekt im Index 2. Außerdem gab es im Index 3 noch zwei weitere Aspekte mit Ceres innerhalb des Asteroidengürtels, die für sich gesehen auch H-Aspekte waren und als solche auch berechnet wurden. Der Prognosefehler lag darin, dass, geblendet durch die Hf-Aspekte im Index 1, übersehen wurde, dass die Teilungs-Symmetrie Merkur 15° Pallas Ceres den Aspekt Ceres 30° Pallas T* als ranghöchsten Aspekt des Tages im Index 2 ausgab. Das bedeutete, dass alle Merkur- und Sonne-H-Aspekte nicht berechnet werden durften. Führt man dies durch (siehe korrigierte Tabelle vom 1. bis 10. März 2016) dann ergibt sich ein Premeteo- Index von -9 für den 5. und +20 für den 6. März. Der Tag hätte durch die bestehenden Prognoseregeln also tatsächlich als zyklonaler Tag prognostiziert werden können. Ein handwerklicher Fehler! Das korrigierte Diagramm zeigt den richtigen Verlauf des Premeteo-Index entsprechend den Prognoseregeln.
8.	-6 5 hr	Tief Bianca II über Karpaten. Südwest- und Süddeutschland befanden sich um 0 UTC im westlichen Grenzbereich von Tief Bianca II, dessen Kern über den Karpaten lag. Es kam zu sehr ausgiebigen Schneefällen in der Nacht, doch stellte sich schon bis zum Mittag wieder eine antizyklonale Strömung ein. Der Premeteo-Index hatte einen Wert von -6 durch eine Konjunktionssymmetrie mit Chiron im Index 2. Der März 2016 ist der letzte Monat, bei dem Chiron noch als Symmetriepianet verwendet wurde. Die Symmetrien mit Chiron hatten schon mehrfach zu Fehlprognosen geführt und wurden daher aufgegeben. Als Bahnkreuzer-Planet ist er ein Sonderling gegenüber den anderen Planeten des Prognosesystems. Er scheint keine impulsierenden Symmetrien bilden zu können. Der Premeteo-Index für den 8. März hatte daher nach den aktuellen Prognoseregeln den Wert 0. Dies wurde auch im korrigierten Diagramm berücksichtigt.
13.	-6 5 hr	Hoch Joachim über Südschweden. Es befand sich ein kleines, kompaktes Höhentief, ein sogenannter Kaltlufttropfen direkt über Südwestdeutschland, setzte sich mit seiner zyklonalen Strömung

		aber nicht bis in die Bodenatmosphäre durch und wanderte zum 14. bis über die Pyrenäen. Im Index 3 wurde durch die Konjunktion des Mondapogäums mit Haumea der zum Prognosezeitpunkt unbekannte Aspekt Haumea 180° Eris ausgelöst, der sehr wahrscheinlich einen H-Impuls trägt. Flacher Index, auf 500 hpa zyklonal
14.	-10 2-5 hr	Hoch Joachim über Nordsee. Der negative Index kam hauptsächlich durch die Venus-T-Aspekte Venus 150° GSZ und Venus 150° Makemake zustande, die in allen drei Indices auftraten. Ceres 180° Jupiter H* war wohl die entscheidende Winkelbeziehung für das kalte Hochdruckwetter. Im Index 3: Apo 0° Haumea → Haumea 180° Eris H?*
17.	-4 2 hr	Hoch Joachim über nördlicher Nordsee. Flacher Index, auf 500 hpa flach zyklonal. Im Index 3: Apo 0° Haumea → Haumea 180° Eris H?*
19.	-1 3 r	Hoch Joachim westlich von Schottland. Flacher Index. Im Index 3: Alternativer Premeteo-Index +10 mit Apo 0° Haumea H?*(9,5/4)
20.	-3 3 r	Hoch Joachim westlich von Irland. Flacher Index. Im Index 3: Apo 0° Haumea → Haumea 180° Eris H?*
22.	-9 3r	Hoch Joachim vor Südwestengland. Flacher Index, auf 500 hpa flach zyklonal. Im Index 3: Apo 0° Haumea → Haumea 180° Eris H?*
28.	+3 3r	Tief über Südwestengland, kleine Hochdruckzelle über Süddeutschland. Flacher Index, einzelner positiver Tag.